

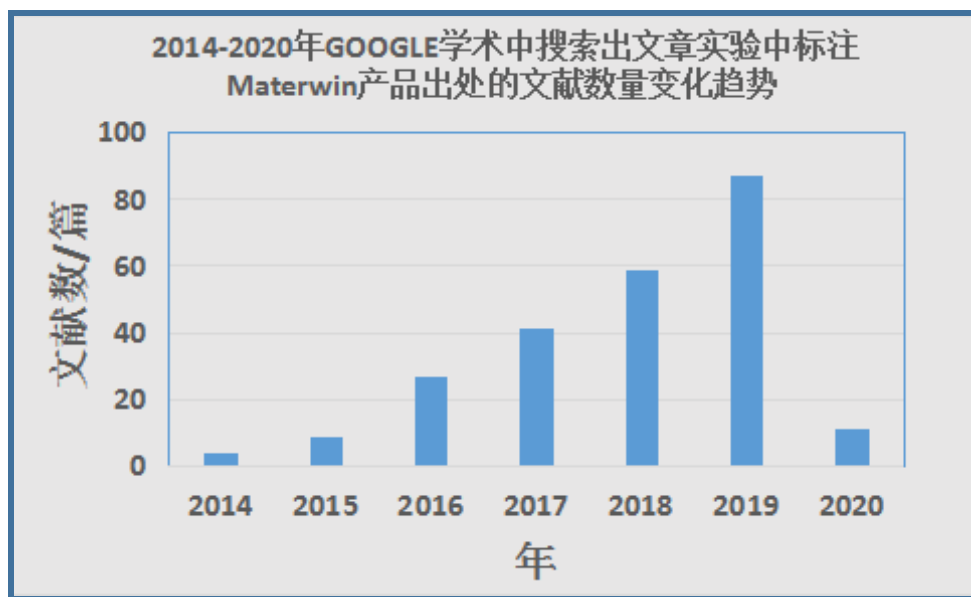
公司产品文献

近几年，以本公司注册的产品商标品牌“MATERWIN”为关键字，在GOOGLE学术中共搜索到254条文献记录，见图8(截至2019年)。



图8

从图9可以看出，本公司从2014年开始，以本公司注册的商标品牌“MATERWIN”为关键字，在GOOGLE学术中搜索的文献数量逐年上升。到了2019年，1年内可以搜到87条文献记录。



上海迈拓崴钙钛矿染敏研究领域实验材料及仪器设备产品目录

Shanghai Materwin New Materials Technology Co.,Ltd.

图 9

截止 2018 年，下表为部分利用本公司钙钛矿产品（不包括染敏产品）研究发表的代表性文献。欢迎各位用户对本公司产品的来源予以署名（公司官方英文名称：**Shanghai Materwin New Materials Technology Co.,Ltd.**）。谢谢！

| 文献 | 电池类型 | 电池结构 | 迈拓崴产品 | 效率 | 备注 |
|---|------|---|-----------------------------|--------|-----------------------------------|
| Journal of Power Sources, 2017, 353, 123-130 | 反向平面 | FTO/b-NiO/PVSK/PCBM/Ag | 低温 NiO 旋涂浆料（直接用） | 14.91% | NiO: 100度 20分钟 |
| Journal of Alloys and Compounds, 2018, 735, 224-233 | 正向平面 | FTO/b-TiO ₂ /PVSK/Spiro/Ag | MAI（二次结晶） | 17.03% | |
| Organic Electronics, 2017, 50, 33-42 | 正向平面 | FTO/b-TiO ₂ /PVSK/Spiro/Au | FK209-cobalt (III)-TFSI（钴盐） | 17.3% | 电池稳定性超过 3600 小时. |
| RSC Adv., 2016, 6, 78585-78594 | 正向平面 | FTO/b-TiO ₂ /C60/PVSK/Spiro/Au | FK209-cobalt (III)-TFSI（钴盐） | 16.58% | C60: FF%=75.91 无 C60: FF=60.82 |
| Sustainable Energy Fuels, 2017, 1, 1358-1365 | 正向介孔 | FTO/b-TiO ₂ /m-TiO ₂ /PVSK/Spiro/Au | FK209-cobalt (III)-TFSI（钴盐） | 15% | |
| Nano Energy, 2018, 43, 383-392 | 正向平面 | FTO/b-TiO ₂ /PVSK/Spiro/Au | MABr/MAI/FAI（二次结晶） | 20.2% | 混合钙钛矿 |
| J. Mater. Chem. A, 2017, 5, 20874-20881 | 正向介孔 | FTO/b-TiO ₂ /m-TiO ₂ /PVSK/Spiro/Au | MABr/MAI/FAI（二次结晶） | 20.06% | 混合钙钛矿 |
| J. Mater. Chem. A, 2016, 4, 15383-15389 | 正向平面 | FTO/b-TiO ₂ +Mg/PVSK/Spiro/Au | MABr/MAI/FAI（二次结晶） | 19.08% | Mg 掺杂 |
| ACS Appl. Mater. Interfaces 2017, 9, | 正向介孔 | FTO/b-TiO ₂ /m-TiO ₂ /PVSK/Spiro/Au | MAI/FAI（二次结晶） | 20.1% | 钙钛矿: DMF 添加剂, 两步旋涂 |

上海迈拓威钙钛矿染敏研究领域实验材料及仪器设备产品目录

Shanghai Materwin New Materials Technology Co.,Ltd.

| | | | | | |
|---|-----------|---|---|--------|--|
| 26937-26947 | | | | | |
| Adv. Funct. Mater. 2018, 28, 1705220 | 光探测器 | | MABr/MAI/FAI (二次结晶) | 钙钛矿晶体 | |
| Electrochimica Acta, 2017, 257, 380-387 | 正向介孔 | FTO/b-TiO ₂ / m-TiO ₂ /PVSK/ Spiro/Au | FK209 (钴盐) | 16.07% | |
| Electrochimica Acta, 2017, 258, 1262-1272 | 无 HTM, 碳基 | FTO/b-TiO ₂ / m-TiO ₂ /PVSK/C | 低温碳浆料 (刮涂或印刷) | 14.29% | 刮涂, 100度 50 分钟 |
| Nano-Micro Lett. , 2016, 8(4):347-357 | 无 HTM, 碳基 | FTO/b-TiO ₂ / m-TiO ₂ /PVSK/C | 低温碳浆料 (刮涂或印刷) | 11.44% | 刮涂, 100度 30 分钟 |
| Electrochimica Acta, 2017, 236, 122-130 | 正向介孔 | FTO/b-TiO ₂ / m-TiO ₂ /PVSK/ Spiro/Au | FK209 (钴盐) | 17.1% | |
| Chinese Chemical Letters, 2017, 28, 13-18 | 反向平面 | ITO/CuOx/ PVSK/PCBM/ ZnO/Al | MAI (二次结晶) | 17.43% | 效率记录, CuOx 比 PEDOT/PSS 好 |
| Solar Energy, 2018, 162, 8-13 | 光敏三极管 | ITO/CuPc/ PVSK/CuPc/Ag | MAI (二次结晶) | 见文献 | |
| Adv. Energy Mater. 2018, 1702498 | 反向平面 | ITO/ PEDOT:PSS/ 2D-PVSK/ PC61BM/BCP/Ag | MAI (二次结晶) | 11.01% | |
| Mater. Chem. Front., 2018, 2, 121-128 | 反向平面 | ITO/ PEDOT:PSS/ 2D-FA-PVSK/ PC61BM/ BCP/Ag. | FAI (二次结晶) | 6.88% | 钙钛矿: 2D-甲脒型 钙钛矿 |
| Small 2017, 13, 1700611 | 反向平面 | ITO/ PEDOT:PSS/ 2D-PVSK/ PC61BM/BCP/Ag | MAI (二次结晶) | 8.79% | 钙钛矿: (BA) ₂ (MA) ₃ Pb ₄ I ₁₃ (n = 4) |
| Nanoscale, 2017, 9, 6136-6144 | 反向平面 | ITO/CuSCN/ PVSK/ C60/Bphen/Ag | MAI (二次结晶) PbI ₂ (99.999%) | 11.4% | 这种结构的效率记录 |
| J. Mater. Chem. A, 2017, 5, 4190-4198 | 正向介孔 | FTO/b-TiO ₂ / m-TiO ₂ /PVSK/ Spiro/Au | PbI ₂ (99.999%) | 15.66% | |

上海迈拓威钙钛矿染敏研究领域实验材料及仪器设备产品目录

Shanghai Materwin New Materials Technology Co.,Ltd.

| | | | | | |
|--|-----------|---|--|-------------------------|-------------|
| Adv. Funct. Mater. 2017, 27, 1606156 | 正向平面 | FTO/b-TiO ₂ /PVSK/Spiro/Au | FTO (日本 NSG) b-TiO ₂ (旋涂液) FK209 (钴盐) | 15.65% | |
| J. Mater. Chem. A, 2018, 6, 941-947 | 固态超级电容器 | Ag-doped PEDOT:PSS/CNT | PEDOT:PSS (电容器专用) | Stretchability: 480% | 最高记录 |
| ACS Appl. Mater. Interfaces 2017, 9, 36810-36816 | 反向平面 | ITO/ PEDOT:PSS/ PVSK/ PCBM/C60/ BCP/Ag | PEDOT:PSS (贺力氏 4083) MAI (二次结晶) | 12.66% | 钙钛矿: 一步法 |
| Adv. Sci. 2017, 4, 1700008 | 正向平面 | FTO/b-TiO ₂ / PCBM/PVSK/ Spiro/Au | MAI/FAI (二次结晶) | 19.3% | |
| RSC Adv., 2018, 8, 987-993 | 正向平面 | ITO/SnO ₂ / PVSK/spiro/Au | MAI (二次结晶) | 17.59% | |
| OPTICS EXPRESS, 2017, 25(8), 17 | 反向平面 | ITO/NiO _x / PVSK/PCBM/ Ruacac/Ag | PCBM (≥99.5%) | 17.15% | |
| Crystals 2017, 7, 272 | 正向平面 | FTO/b-TiO ₂ / PVSK/Spiro/Ag | FAI (二次结晶) | 16.8% | |
| RSC Adv., 2017, 7, 29944-29952 | 反向平面 | ITO/ PEDOT:PSS/ Rub/PVSK/ PCBM/C60/ BCP/Ag | MAI (二次结晶) | 14.3% | |
| ACS Appl. Mater. Interfaces 2018, 10, 9541-9546 | 无 HTM, 碳基 | FTO/b-TiO ₂ / CsPbBr ₃ /C | PbBr ₂ (99.999%), CsBr(99.999%), 低温碳浆料 | 5.86% (1.86V) | |
| Sci China Mater 2018, 61(1): 65-72 | 正向平面 | FTO/ZnO/PVSK/ Spiro/Au | MAI (二次结晶) | 14.04% | 氧化锌/钙钛矿 |
| RSC Adv., 2018, 8, 5897-5901 | 反向平面 | FTO/PTAA/ PVSK/PCBM/ ZnO/Al | MAI (二次结晶) | 17.2% | |
| Nanoscale, 2015, 7, 20539-20546 | 正向介孔 | FTO/b-TiO ₂ / m-TiO ₂ /PVSK/ Spiro/Au | Spiro-MeOTAD (99.8%) | 16.97% | |

上海迈拓威钙钛矿染敏研究领域实验材料及仪器设备产品目录

Shanghai Materwin New Materials Technology Co.,Ltd.

| | | | | | |
|--|------|--|-------------------------|-------|--------------|
| Adv. Funct. Mater. 2016, 26, 8119–8127 | 反向平面 | ITO/ PEDOT:PSS/PVSK / PCBM/PEI/Ag | MAI (二次结晶) | 18.4% | Voc=1.15V |
| Sol. RRL 2018, 2, 1700214 | 反向平面 | ITO/ PEDOT:PSS/PVSK / PCBM/BCP/Ag | PEDOT:PSS (贺力氏 4083) | 16.4% | 钙钛矿层: 刮涂法 |